

## 1. まえがき

自由地下水面を有する非定常浸透流の解析には、浸透層パラメーターを常数として取り扱う手法が従来用いられているが、その解析結果はがならずしも満足できるものではないことが指摘されている。<sup>1),2),3)</sup> 本研究は、この解析誤差を、比産出率の値が空間的に変化することによるものと考えて、解析手法の検討を行なっているものであり、本報では、対象とする地盤の比産出率の値がどのように変化するかを、簡易なモデルを用いたシミュレーションにより、土の粒径分布と空隙率から評価することを考えた。

## 2. 比産出率について

まず比産出率 (Specific yield) は、自由地下水面の低下によって、飽和されていて土中から排出される水の体積の全体の体積に対する割合で定義される浸透層パラメーターであり、従来は有効空隙率 (Effective porosity) とほぼ同じ意味で用いられてきたが、最近 USGS により区別して使う事が提唱された。<sup>4)</sup> 現象的には図-1のように自由地下水面が低下した際に、地下水面より上方の土中の水の一部は、毛管作用によって空隙中に保持され、全ては排出されない事を表示したものである。なお不飽和-飽和浸透流の解析手法においては、不飽和部分の流れの基礎式に用いられる体積含水率<sup>5)</sup> (保持される割合) が比産出率と同様の効果を表わしているものと考えられる。

この比産出率の値に関する従来の研究<sup>6),7)</sup> のうち、本報と同様の考え方で、武内の空隙モデルを用いたシミュレーションがあるが、武内の空隙モデルは、モデルの構成から二次元モデルであり、隣接する空隙の連絡通路(以下、流路と呼ぶ)の数が二次元と三次元で異なることから、本報においては三次元的な空隙モデルを用いた。

## 3. シミュレーションの判定条件

図-3のように空隙中に水が保持される様子をモデル化すると、図-4の毛細管内に上昇した水面を保持する現象があらわされる。図-4の場合の力の均合いの式は

$w_2 \cdot \pi d^2 / 4 = T \cdot \pi d$  ① であるから、流路の断面を円に置換した場合の直径(流路径と呼ぶ)を  $d_r$  とおくと、 $d_r \geq 4T / (w_2 \cdot 2)$  ② によって、空隙中に水が保持されるかいかを判定できる。また制限条件として、隣接する空隙が少なくとも一個以上空があれば、その空隙が空になること、および隣接する空隙が全て空であれば、その空隙は空にならないとする 2 つの条件を付した。

## 4. 空隙モデル

三次元の空隙モデルによるシミュレーションの方法として、土粒子を三次元的に配置して空隙を決定し、その空隙につながる複数個の流路について、式-2 の判定を行なってゆく手法が考えられるが、その算定は非常に複雑であると考えられたため、つぎのような簡単なモデルを用いた。すなわち、土粒子 4 個を一平面上に配置して流路だけを決定する。ここにモデルの空隙率は、与えられた空隙率と暗黙のうちに一致するものとした。さらに、式-2 による判定は、その空隙がもつ代表的な流路一ヶ所につなげ行なうと考えた。この場合、土粒子 4 個の配置は図-5あるいは図-6のいずれかであり、流路数が 6 個の場合の空隙と流路の配置

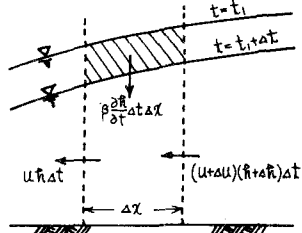
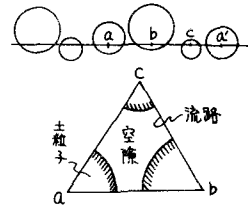
図-1 比産出率  $\beta$  の説明図

図-2 武内の空隙モデル

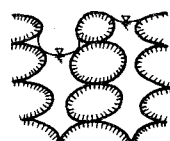


図-3 空隙中の水の保持

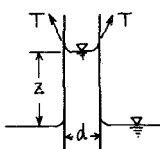


図-4 毛細管内の水面の上昇

は図-7のように考えること。

### 5. シミュレーションの手順とその結果

①まず、対象とする地盤の土粒子の粒径分布を対数正規分布と考え、平均粒径  $d_m$  と標準偏差  $\delta$  を、水文統計に用いられる簡易法により算出する。  
 ②図-5の場合には、5個の正規乱数（平均値  $\log d_m$ 、標準偏差  $\delta$ ）を発生させて指数を取り、その内の始めの4個を粒径 ( $d_1 \sim d_4$ ) とし、図-5 土粒子の配置  
 5個目を  $C_1$  とする。図-5の粒子2と3の間隔を  $L_1 = (d_2 + C_1 + d_3)/2$  とおいて、4個の土粒子が互いに接する様に配置する。また図-6の場合、上記5個の乱数の他に、さらに一つの正規乱数を発生させ、その指標を  $C_2$  とする。図-6の粒子1と2の間隔を  $L_2 = (d_1 + C_2 + d_2)/2$  と定め、4個の土粒子が 1・4・3・2 の順に連結する様に配置する。なお、図-5と図-6の組合せの判断は、これも正規乱数（平均値 0、標準偏差 1）を発生させ、値を一定値と比較させて決定する。  
 ③角度  $\theta_1 \sim \theta_4$  を求め、四辺形 1234 内に含まれる土粒子部分の各面積  $S_1 \sim S_4$  を求め。④四辺形 1234 の面積  $S_v$  を求め、 $S_v - (S_1 + S_2 + S_3 + S_4) = S_u$  により、流路の面積を求める。⑤流路径  $d_v = \sqrt{4S_u/\pi}$  より求める。⑥以上の①～⑤の手順を繰返して図-7の空隙モデルを決定する。⑦図-7の最上段の空隙を空にしておき、その中心位置から逐次 0.5 cm 下げ水面を低下させて、各空隙ごとに式-2の判定を行なう。判定の操作は、水平方向に往復しながらその時の水面の位置まで下がった後、2段目にもどり、再度同じ判定の操作を行なう。た後に、水面を下げることにした。

以上の手順により  $d_m = 0.70 \text{ mm}$ ,  $\delta = 0.255$ ,  $\lambda = 0.43$  の場合について行なった算定結果を図-10 に示す。図中には、図-5と図-6の混合割合を 0% [図-5の配置が 100%, 図-6が 0%], 50%, 100% と変化させた場合の結果と、流路径分布が粒径分布と同じと考えた場合の結果、武内モデルによる算定結果 [ $d_m = 0.85 \text{ mm}$ ,  $U_c = 1.21$ ,  $\lambda = 0.36$ ] およびガラス球 [ $d_m = 0.85 \text{ mm}$ ,  $U_c = 1.21$ ,  $\lambda = 0.36$ ] を用いた実験結果を示している。武内の空隙モデルによるシミュレーションの場合には、孤立する制限条件を用いていたため、その結果は与えられた空隙率の 36% に漸近するが、今回のシミュレーションの結果では、孤立して残留水となる割合が、各段毎に 20% 程度あるため、与えられた空隙率の 3/4 の 30% 程度の値に漸近する傾向を示すようである。

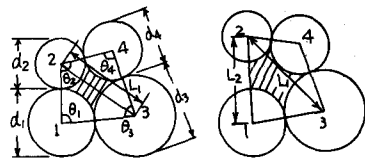
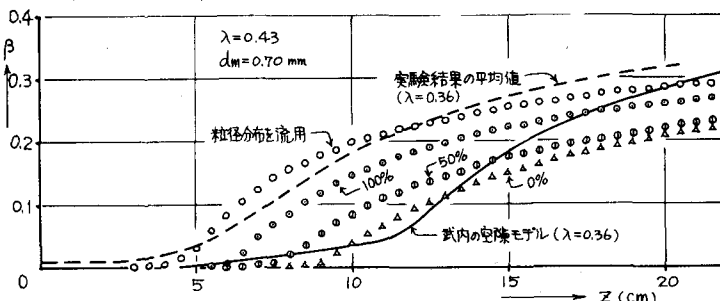


図-5 土粒子の配置  
図-6 土粒子の配置

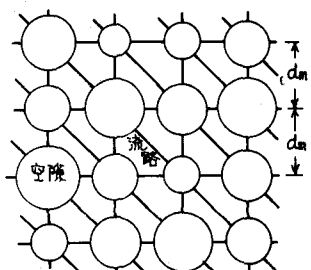


図-7 空隙と流路の配置

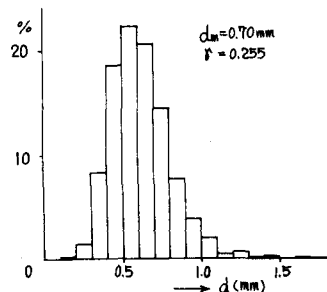


図-8 粒径分布

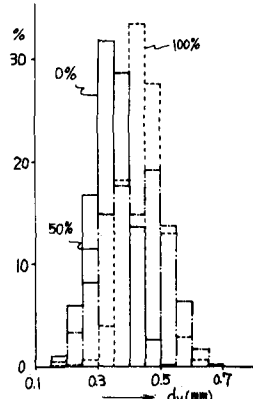


図-9 流路径分布

図-10 シミュレーション結果

参考文献 1) 鳥居: 壓密性透水層の浸透現象について、第28回年譲  
 2) 尾高: 透水地盤中の水位変動と流量の量に関する考察、水理講演会  
 3) 田尾・本郷: 自由地下水頭と有する非定常浸透流の解析、九産大工研報、オ12号、4) 連続管式水頭計ルーパ: 最新地下水学、5) 赤井・他: 有効空隙率法による飽和・不飽和浸透流解析、土石力学論集、(7) White & others: Physics of Desaturation in Porous Materials, ASCE Vol. 96, IR2  
 5) 武内: 相等セグメントによる多孔体内の流れのシミュレーション、土木学会論文集 No. 387、6) 上田・村尾・笠原: シミュレーションによる砂質地盤中の空隙率分布の算定、土木工学会誌、Vol. 60, N. 5、10) 滝原: 河川工学